

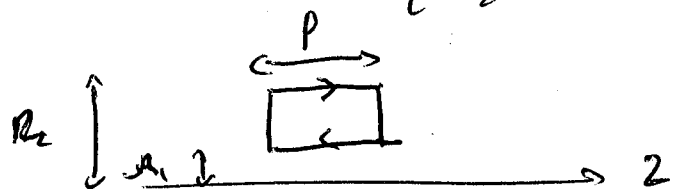
E3A PSI 2019

A1. En régime statique : $\oint \vec{H} \cdot d\vec{l} = I_{\text{enfonce}}$.
 avec I_{enfonce} les courants enlacés par Γ fermé.
 Dans un milieu non magnétique : $\vec{H} = \frac{\vec{B}}{\mu_0}$ car
 $\partial\vec{l} = \vec{0} \Rightarrow \oint \vec{B} \cdot d\vec{l} = \mu_0 I_{\text{enfonce}}$

A2. • (r, θ, z) plan de symétrie des courants
 donc $\vec{B}(M) + (r, \theta, z)$: $\vec{B} = B(r, \theta, z) \hat{e}_z$
 • Invariance des courants par rotation
 autour de $0z$ et translation suivant $0z$:

$$\vec{B} = B(r) \hat{e}_z$$

• Théorème d'Ampeïre sur le contour
 suivant, avec $\begin{cases} r_1 < R \\ r_2 < R \end{cases}$ ou $\begin{cases} r_1 > R \\ r_2 > R \end{cases}$:

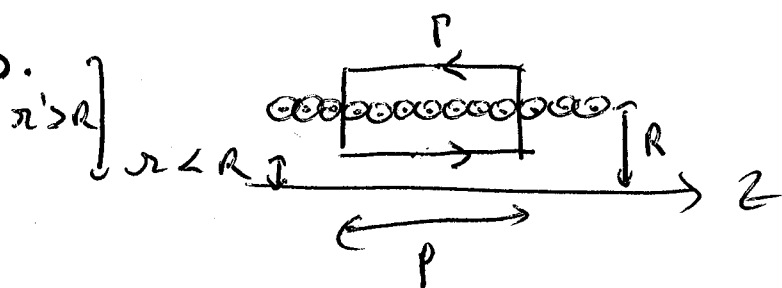


$$B(r_2)P - B(r_1)P = 0$$

$$\Rightarrow B(r_1) = B(r_2)$$

Donc $B(r)$ indépendant dans le solénoïde
 d'une part, et à l'extreme d'autre part.

A3.



Th. d'Ampeïre :

$$B(r)P - B(r')P = \mu_0 \times nP I$$

$$= 0$$

$$\Rightarrow B(r < R) = \mu_0 n I$$

$$\Rightarrow \vec{B}(r < R) = \mu_0 n I \hat{e}_z$$

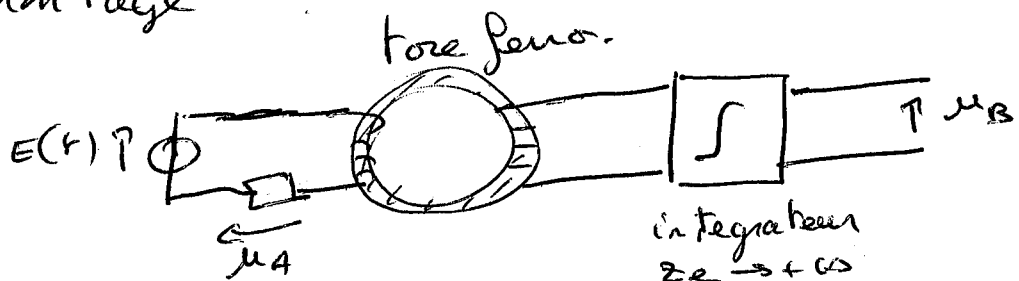
B1. • Champ coercitif : excitation magnétique
 permettant d'annuler B et \mathcal{M}
 • champ permanent : champ magnétique ou
 aimantation observés pour $H = 0$.

B2. { Ferro dur : cycle large, H_c et B_r élevés

{ Ferro doux : cycle étroit

- figure 3 adaptée à ferro. doux

- montage :



$\mu_A \propto H$ \Rightarrow oscillo en mode X Y.
 $\mu_B \propto B$

B3. avec A3 : $\nabla \cdot \vec{B} (r < R) = nI \vec{u}_z$

• Alors si $|nI| \leq H_{sat}$: $\vec{B} = \mu nI \vec{u}_z$

{ si $|nI| \geq H_{sat}$: $\vec{B} = \pm B_{sat} \vec{u}_z$

$$\text{avec } B_{sat} = \mu H_{sat}$$

$$B_4. \quad \phi = B(t)S$$

$$B_5. \quad e = - \frac{d\phi_{tot}}{dt} : \text{induction.}$$

$$B_6. \quad \phi_{tot} = N_s B(t)S \Rightarrow e(t) = -N_s S \frac{dB}{dt}$$

• Si B saturé : $B = B_{sat}$ et $e = 0$

• Si B non saturé : $B = \mu H = \mu M i(t) \Rightarrow e(t) = -N_s S \mu \frac{di}{dt} \neq 0$

C.1. saturation de B $\Rightarrow \pm 1 \text{ m.a.}$

C.2. fondamental : $f_0 = 5 \text{ m.a.}$

harmoniques : d'ordre impair seulement $((2n+1)f_0)$

$$C_3. \quad \vec{H}_0 = \frac{\vec{B}_0}{\mu} \text{ donc } \vec{H} = \left(n_i(t) + \frac{B_0}{\mu} \right) \vec{u}_z$$

C.4. H a une composante continue donc il est plus symétrique par rapport à l'axe des temps.

La durée de la saturation à B_{sat} est plus longue qu'à $-B_{sat}$.

C.5. Tous les harmoniques (pairs et impairs) sont présents : voir C.1.

$$\begin{aligned}
 C6. \frac{d\beta}{dt} &= \alpha \frac{dH}{dt} - 3bH^2 \frac{dH}{dt} \\
 &= \alpha \omega H_m \cos(\omega t) - 3b(H_0 + H_m \sin(\omega t))^2 \times H_m \omega \cancel{\cos(\omega t)} \\
 &= (\alpha - 3bH_0^2) \cos(\omega t) - 6bH_0 H_m^2 \cos(\omega t) \sin(\omega t) \\
 &\quad - 3bH_m^3 \sin^2 \omega t \cos(\omega t)
 \end{aligned}$$

En linearisant :

- $\cos(\omega t) \sin(\omega t) = \frac{1}{2} \sin(2\omega t)$
- $\sin^2 \omega t \cos(\omega t) = \frac{1}{2} \cos(\omega t) - \frac{1}{2} \cos(2\omega t) \cos(\omega t)$
- $= \frac{1}{2} \cos(\omega t) - \frac{1}{2} \left(\frac{1}{2} (\cos(3\omega t)) + \cos(\omega t) \right)$

Soit donc :

$$\begin{aligned}
 \frac{d\beta}{dt} &= \left(\alpha - 3bH_0^2 - \frac{3}{4}bH_m^2 \right) H_m \cos(\omega t) - 3bH_0 H_m^2 \omega \sin(2\omega t) \\
 &\quad + \frac{3}{4}bH_m^3 \omega \cos(3\omega t)
 \end{aligned}$$

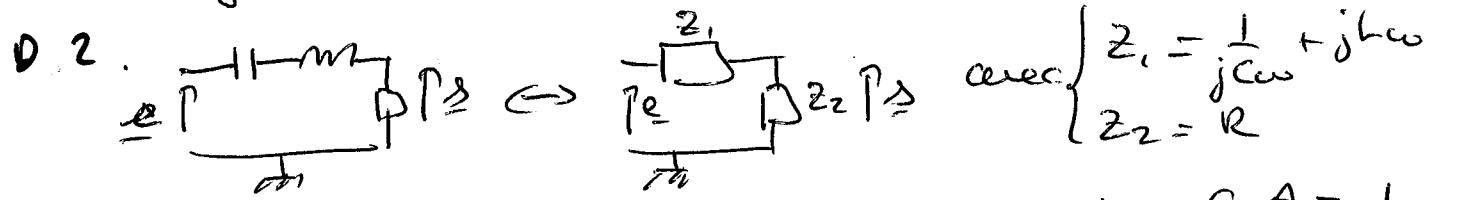
Soit donc :

$$\left\{
 \begin{array}{l}
 K_1 = \left[(\alpha - 3bH_0^2) H_m - \frac{3}{4}bH_m^2 \omega \right] \\
 K_3 = \frac{3}{4}bH_m^3 \omega \\
 K_2 = -3bH_0 H_m^2 \omega
 \end{array}
 \right\}
 \begin{array}{l}
 \text{impêches} \\
 \text{de } H_m
 \end{array}$$

C7. L'harmonique de rang 2 a une amplitude de $+3bH_0 H_m^2 \omega$: connaissant b, H_m et ω , on déduit H_0 de sa mesure.

Pour l'isoler, on peut utiliser un passe-bande centré sur 10 u.a.

D1. L'objectif est d'isoler l'harmonique de rang 2.



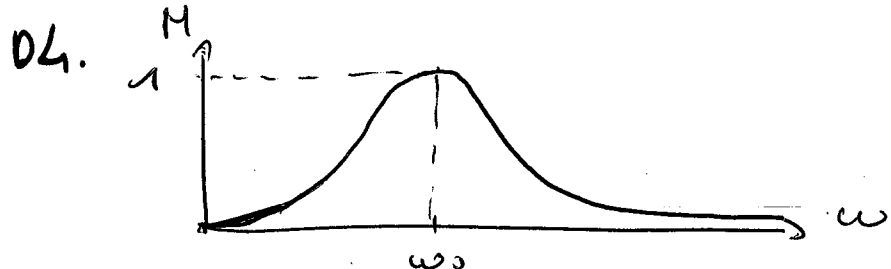
$$\Rightarrow H = \frac{Z_2}{Z_1 + Z_2} = \frac{1}{1 + j\left(\frac{L}{R}\omega - \frac{1}{R\omega C}\right)}$$

Par identification

$$\begin{cases} A = 1 \\ \frac{Q}{\omega_0} = \frac{L}{R} \\ Q\omega_0 = \frac{1}{R}C \end{cases}$$

$$\Rightarrow A = 1 \quad \omega_0 = (LC)^{-1/2} \quad Q = \frac{1}{R} \sqrt{\frac{L}{C}}$$

D3. $|H| = \frac{1}{\left(1 + \left(Q\left(\frac{\omega}{\omega_0}\right)\right)^2\right)^{1/2}}$ maxi pour $\omega = \omega_0$: $|H|_{\max} = 1$



D5. a) Bande de passante : bande de fréquences telles que $H(\omega) \geq \frac{|H|_{\max}}{\sqrt{2}}$ ($20 \log(H(\omega)) \geq 20 \log(|H|_{\max}) - 3$)

b) $\Delta\omega = \frac{\omega_0}{Q} \rightarrow$ d'autant plus étroite que Q est élevé.

D6. $\underline{\omega_0} = 2\omega_0 = 4\pi f_e$

E1. $\underline{d}_2(t) = KAB\cos(2\omega_0 t)[A\cos(2\omega_e t + \varphi) + b(t)] = \frac{KAB}{2} (\cos((\omega_e + \omega_0)t + \varphi) + \cos(\varphi)) + KBC\cos(2\omega_e t)b(t)$

\Rightarrow composante continue $\frac{KAB}{2} \cos(\varphi)$

E2.

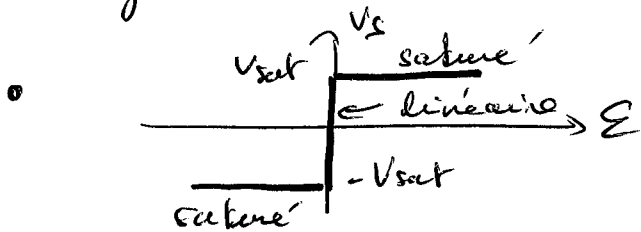
$H = \frac{1}{1 + j\omega C}$ avec $\omega_C = \frac{1}{RC}$

E3. Si fait $f_{fc} = \frac{\omega_C}{2\pi} \ll f_e = 4 \cdot 10^3 \text{ Hz}$

Pour $R = 10^4 \Omega$ et $C = 1 \mu F$ on a $f_c = \frac{1}{2\pi RC} = 10 \text{ Hz} \ll 4 \cdot 10^3 \text{ Hz}$

E4. Si le champ extérieur n'est pas compensé, alors $s_3 \neq 0$ et l'intégrateur fournit une tension croissante (ou décroissante) suivant son signe. Le champ créé par la bobine détectrice va donc croître (ou décroître) jusqu'à la compensation : alors $s_3 = 0$. La sortie de l'intégrateur est constante.

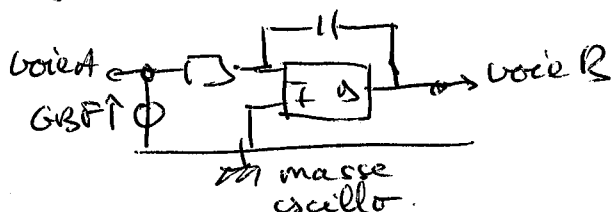
E5. • ALI ideal : courants de polarisation nuls, gain infini (entre autres...)



E6. courant en sortie de la conversion tension-courant (courant dans la bobine de mesure) ou tension en sortie de l'intégrateur.

E7. Alimentation symétrique pour l'ALI ($\pm V_{cc}$)

{ Oscillo
GBF



E8. $V_+ = V_- = 0$ (ideal et linéaire)

$$\Rightarrow e(t) = R_i \text{ et } i(t) = C \frac{d(V_+ - V_-)}{dt} = -C \frac{dV_+}{dt} \quad (i_- = 0)$$

$$\Rightarrow e(t) = -RC \frac{ds}{dt} = -Z \frac{ds}{dt} \quad \text{avec } Z = RC$$

→ intégrateur.

F1. • $(\eta, \bar{e}_x, \bar{e}_z)$ plan de symétrie des courants
 donc $\vec{H}_i + (\eta, \bar{e}_x, \bar{e}_z) : \vec{H}_i = H_i(\eta, t) \times \vec{e}_z = H_i(\eta, t, z, t)_{\text{mo}}$
 • Les lignes de champ sont donc des cercles d'axes Oz .

F2. Théorème d'Ampère sur une ligne de champ dans le tore : r 

$$\oint \vec{H} \cdot d\ell = I_{\text{enroulé}} = N_i i(t) \Rightarrow \vec{H}_i(\eta, t) = \frac{N_i I_m \sin(\omega t)}{2\pi r} \hat{e}_y$$

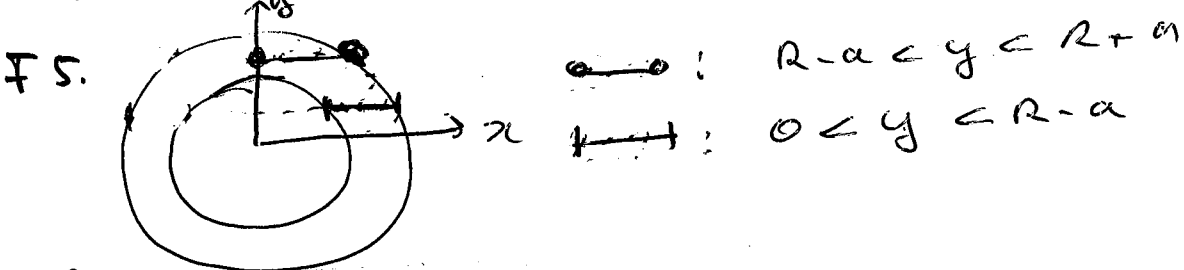
F3. Amplitude de $\vec{H}_i(\eta, t)$ est $\frac{N_i I_m}{2\pi r}$

$$\text{On voit } \frac{N_i I_m}{2\pi r} \geq H_{\min} \quad \forall r \in [R-a, R+a]$$

$$\Rightarrow \frac{N_i I_m}{2\pi(R+a)} \geq H_{\min} \Rightarrow I_{m,\min} = \frac{2\pi(R+a)H_{\min}}{N_i}$$

$$I_{m,\min} = 0,754 \quad \boxed{\parallel}$$

F4. La projection de \vec{H}_i sur \hat{e}_y donne bien $H_i(\eta, t) \times \cos \theta$ ($\hat{e}_{\theta} \cdot \hat{e}_y = \cos \theta$)



$$F6. \frac{\partial B_y}{\partial t}(-x, y) + \frac{\partial B_y}{\partial r}(x, y) = (k_1(x, y) + k_1(-x, y)) \cos(2\omega t) + (k_2(x, y) + k_2(-x, y)) \sin(2\omega t) + (k_3(x, y) + k_3(-x, y)) \cos(3\omega t)$$

On en remplaçant H_m par $H_m \cos(\theta(x, y))$ dans les expressions de CG de k_1 , k_2 , et k_3 , et considérant que $\cos(\theta(-x, y)) = \cos(\pi - \theta(x, y)) = -\cos(\theta(x, y))$, on a $k_1(-x, y) + k_1(x, y) = 0$ et $k_3(-x, y) + k_3(x, y) = 0$ (k_1 et k_3 impaires de $H_m \cos(\theta(x, y))$). Et $k_2(-x, y) + k_2(x, y) = 2k_2(x, y)$ (paire).
 $\Rightarrow E_p(x, y, t) = 3bH_m \sin(2\omega t) \int_{-\infty}^x H_m^2(x, y, z) \cos^2(\theta(x, y)) dx dz$

F7 La bobine de mesure à N_2 spires sur une hauteur de $2(R+a) \Rightarrow dN = N_2 \times \frac{dy}{2(R+a)}$

$$\Rightarrow de = dN \times \text{espine}(y, t) = \frac{N_2}{2(R+a)} \text{espine}(y, t) dy$$

$$F8. e(t) = \int_{y \in [R-a, R+a]} de = \frac{6bH_0\omega \sin(2\omega t)N_2}{2(R+a)} \iiint_{V(x>0)} H_m^2(x, y, z) \cos^2(\theta(x, y)) dz dy dx$$

$$Gn \left\{ H_m^2 = \left(\frac{N_i I_m}{2\pi r} \right)^2 \right.$$

$$\left\{ \iiint_{V(x>0)} H_m^2(x, y, z) \cos^2(\theta(x, y)) dz dy dx = \frac{1}{2} \iiint_V H_m^2(x, y, z) \cos^2(\theta(x, y)) dz dy dx \right.$$

$\underbrace{\text{la moitié de } V}_{\rightarrow}$

$$\left. \begin{cases} H_m(-x, y, z) = H_m(x, y, z) \\ \cos^2(\theta(-x, y, z)) = \cos^2(\theta(x, y, z)) \end{cases} \right)$$

$$\Rightarrow e(t) = \frac{3bH_0\omega \sin(2\omega t)N_2}{(R+a)} \times \frac{1}{2} \times \frac{N_i^2 I_m^2}{4\pi^2} \iiint_V \frac{\cos^2 \theta}{r^2} dz$$

$$e(t) = 3b \frac{N_2 N_i^2 I_m^2}{8\pi^2} \frac{H_0}{R+a} \omega \times \sin(2\omega t) \times \iiint_V \frac{\cos^2 \theta}{r^2} dz$$

$\underbrace{\quad}_{\alpha}$

F9. Pour $H_0=0$, $\theta=0$

Avantage : pas besoin de filtreage passe bande

F10. On utilise une autre bobine de mesure d'axe O_x .

E3A PSI 2019 Physique-modélisation. partie informatique

Magnétomètre à vanne de flux.

G1] def $f(x, y, z)$: # Attention, fonction non définie en $(0, 0, z)$

return $x^{**}2 / (x^{**}2 + y^{**}2)^{**}2$

G2] def Choisir(a, b):

return $a + \text{random}() * (b - a)$

donne a si random() donne 0 et b si random() donne 1

G3] def Est-dans-tore(x, y, z)

global a, R # cette ligne n'est pas obligatoire

return $(\sqrt{x^{**}2 + y^{**}2} - R)^{**}2 + z^{**}2 \leq a^{**}2$.

la réponse est un booléen, on ne rajoute pas de == True.

G4] def Choisir-point():

$x = \text{Choisir}(-(R+a), R+a)$

$y = \text{Choisir}(-(R+a), R+a)$

$z = \text{Choisir}(-a, a)$

return x, y, z

G5] $I, I2 = 0, 0$

$Npts = 0$ # nb de points dans le tore

while $Npts \leq N$: # on s'arrête quand on a N points dans le tore

$x, y, z = \text{Choisir-point}()$

if $\text{Est-dans-tore}(x, y, z)$: # Pas de == True

$Npts = Npts + 1$

$ff = f(x, y, z)$

pas de problème avec $(0, 0, z)$ qui est hors du tore

$I = I + ff$

$I2 = I2 + ff^{**}2$ # "sinon" on ne fait rien.

quand on a calculé $I = \sum_{i=1}^N f(\mathbf{r}_i)$, $I2 = \sum_{i=1}^N f^2(\mathbf{r}_i)$ et N.

$V = 2 \times \pi^{**}2 \times R \times a^{**}2$ # le volume

$$\alpha = V * I / N \quad \# I/N est \langle f \rangle$$

$$moycarr. = I^2 / N \quad \# c'est \langle f^2 \rangle$$

$$erreu = V * \sqrt{((moycarr - (I/N)^2) / N)}$$

H1] def Produit (sx, sy):

```
rep = [] # la fonction renvoie 1 liste
for i in range (len(sx)):
    # même longueur que sy
    rep.append(sx[i]*sy[i])
return rep
```

ou alors, par compréhension de liste.

```
def Produit (sx, sy)
```

```
rep = [sx[i]*sy[i] for i in range (len(sx))]
```

```
return rep
```

H2] def Moyenne (L):

```
rep = 0
```

```
l = len(L)
```

```
for elm in L:
```

```
rep = rep + elm
```

on fait la somme de tous les éléments

```
return rep/l
```

somme/nb de termes = la moyenne

H3] def Valeur_max():

```
pov = L[0] # c'est le maximum provisoire.
```

```
for elm in L:
```

on va tester L[0], mais ça ne prend pas trop de temps.

```
if elm > pov:
```

```
pov = elm
```

on change le max provisoire si l'élément est + grand que l'ancien max provisoire

```
return pov
```

H4] def Moyenne-nulle (L):

$\Pi = \text{Moyenne}(L)$

return [elm - Π for elm in L]

on décale tous les points de la valeur moyenne.

H5] def Intercorr_n (sx; sy, n): # on suppose les signaux de moyenne nulle.

$C = 0$

for k in range (l , $2l$):

boucle for (1)

$C = C + sx[k] * sy[k-n]$

return C

def Intercorr (sx, sy):

return [Intercorr_n (sx, sy, n) for n in range (0, l)]

H6] Il y a l éléments.

On va calculer la complexité en nombre de multiplications, qui est l'opération la plus lente ici:

Pour chaque passage dans la boucle for (1) : 1 multiplication

Pour chaque utilisation de Intercorr_n : l multiplications (l passages)

Pour Intercorr (l utilisations de Intercorr_n) : l^2 multiplications.

Cela fait une complexité de l^2 en nombre de multiplications